

#### Instituto de Astronomia, Geofísica e Ciências Atmosféricas Departamento de Astronomia



#### AGA0293 Astrofísica Estelar

Profa. Jane Gregorio-Hetem

# Capítulo 13 Evolução Estelar após a Sequência Principal

- 13.1 Evolução na Sequência Principal
- 13.2 Estágios finais da evolução estelar
- 13.3 Aglomerados Estelares

## 13.1 Evolução na Sequência Principal

Processo evolutivo -> consequência da força gravitacional e mudanças na composição química (reações nucleares).

Para manter a luminosidade da estrela -> fontes de energia: nuclear ou gravitacional;

Escalas de tempo:

Pré-SP: queda livre (free fall)

Kelvin-Helmholtz (ou reajuste térmico)  $t_{ff} = \left(\frac{3\pi}{32} \frac{1}{G \rho_0}\right) \text{ Eq. 12.26}$ Eq. 12.26  $t_{KH} = \frac{\Delta E_g}{L_{Sol}} \approx 10^7 \text{ anos}$ 

 $\rightarrow$  SP:  $t_{ff}$ ,  $t_{KH}$  e tempo das reações nucleares

$$t_{nuclear} = \frac{E_{nuclear}}{L_{Sol}} \approx 10^{10} anos$$

Ex. 10.3.1

## Evolução de estrelas de baixa massa

Maioria (80% a 90%) das estrelas está na SP  $\rightarrow t_{nuclear} \approx 10^3 t_{KH}$  mas

- Nas mudanças de fonte de energia nuclear → energia gravitacional tem papel crucial → t<sub>KH</sub> volta a ser importante.
- Todas estrelas na SP estão convertendo H em He, mas: core radiativo\* para M<sub>\*</sub> < 1,2 M<sub>⊙</sub> e convectivo\*\* para massivas → diferentes estágios evolutivos.
- Além disso, as estrelas de mais baixa massa são inteiramente convectivas → altas opacidades levam zonas de convecção profundamente no interior estelar.

```
(*) cadeia pp é menos dependente da temperatura (\mathbf{E} \propto \mathbf{T}^4) (**) Ciclo CNO altamente dependente da temperatura (\mathbf{E} \propto \mathbf{T}^{17})
```

 $M > 1.2 M_{\odot}$ Queima de hidrogênio

pelo ciclo CNO ->
núcleo convectivo

Estrelas com M <  $1.2\,\mathrm{M}_{\odot}$  queimam hidrogênio pelo ciclo próton-próton

 $M < 0.3 M_{\odot}$ 

 $0.3 \ \mathrm{M}_{\odot} < \mathrm{M} < 1.2 \ \mathrm{M}_{\odot}$ 

Envoltório convectivo



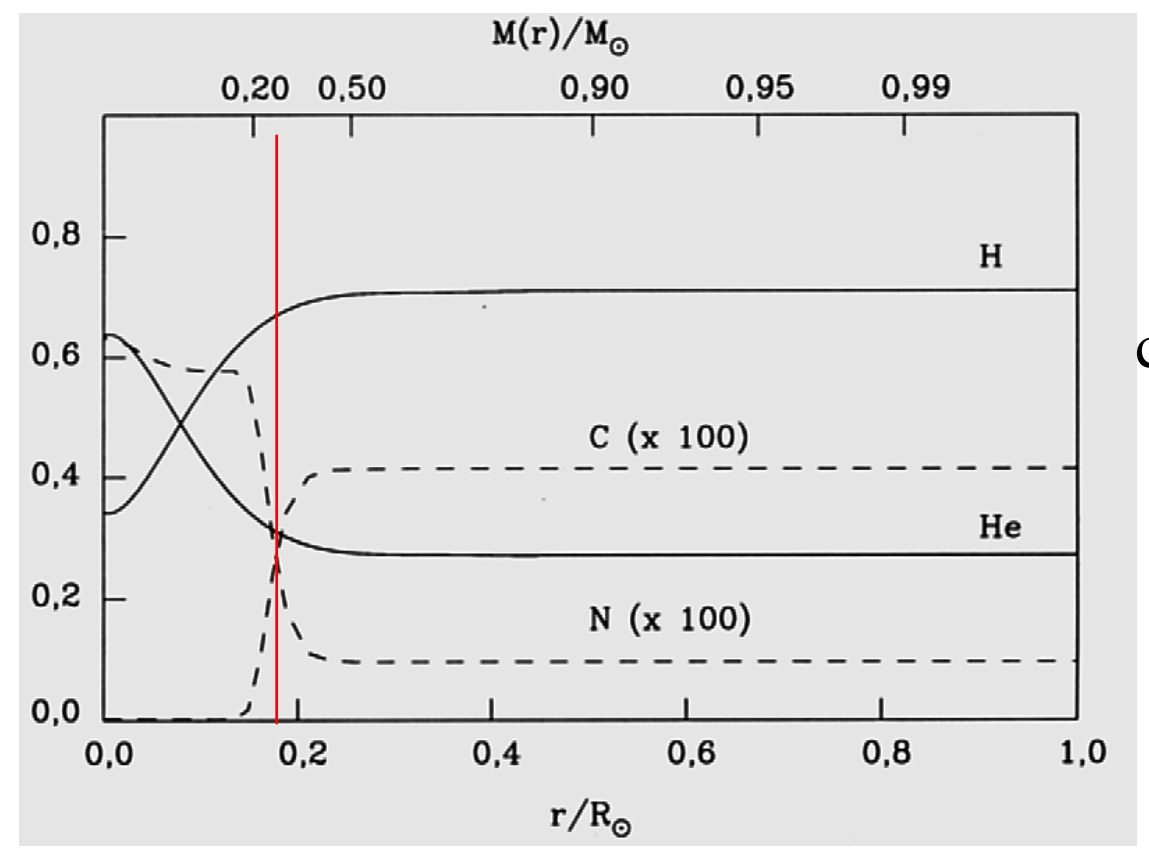
Totalmente convectivas devido à alta opacidade



Créditos: Prof. Jorge Meléndez

## Pausa para revisão Cap. 10 e 11

Variação da composição química do Sol em função da profundidade e distribuição de abundâncias.



## Um problema

Como o C está se convertendo em N no *core* do Sol?

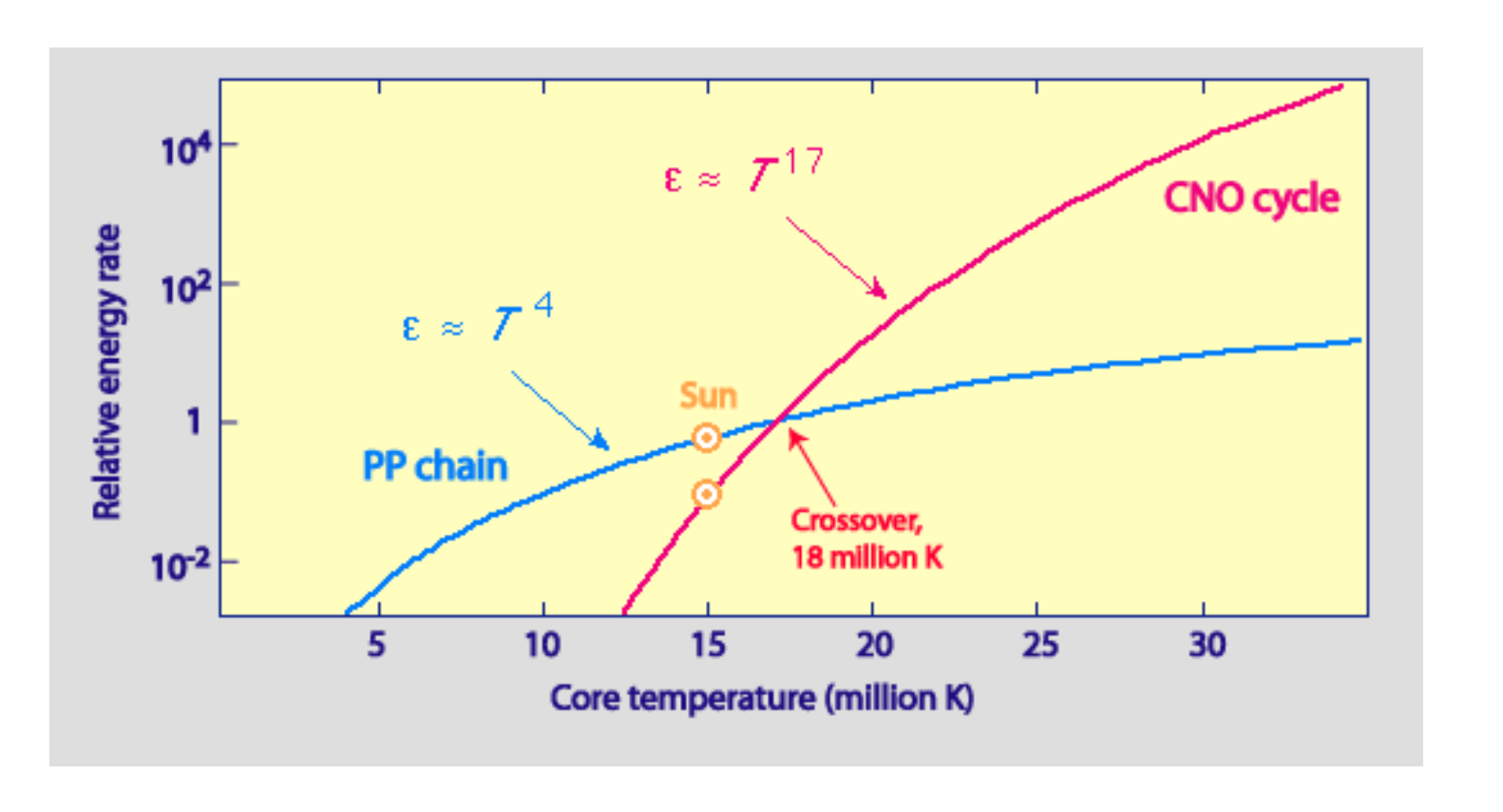
#### Ciclo CNO

## Uma explicação

Para T > 2x10<sup>7</sup>K, a produção de He é feita essencialmente pelo ciclo do Carbono (CNO) → requer presença desses elementos.

## Outro problema

Como pode ocorrer ciclo CNO no Sol se  $T_c \sim 1,6 \times 10^6 \text{ K}$ ?



Credit: Mike Guidry, University of Tennessee.

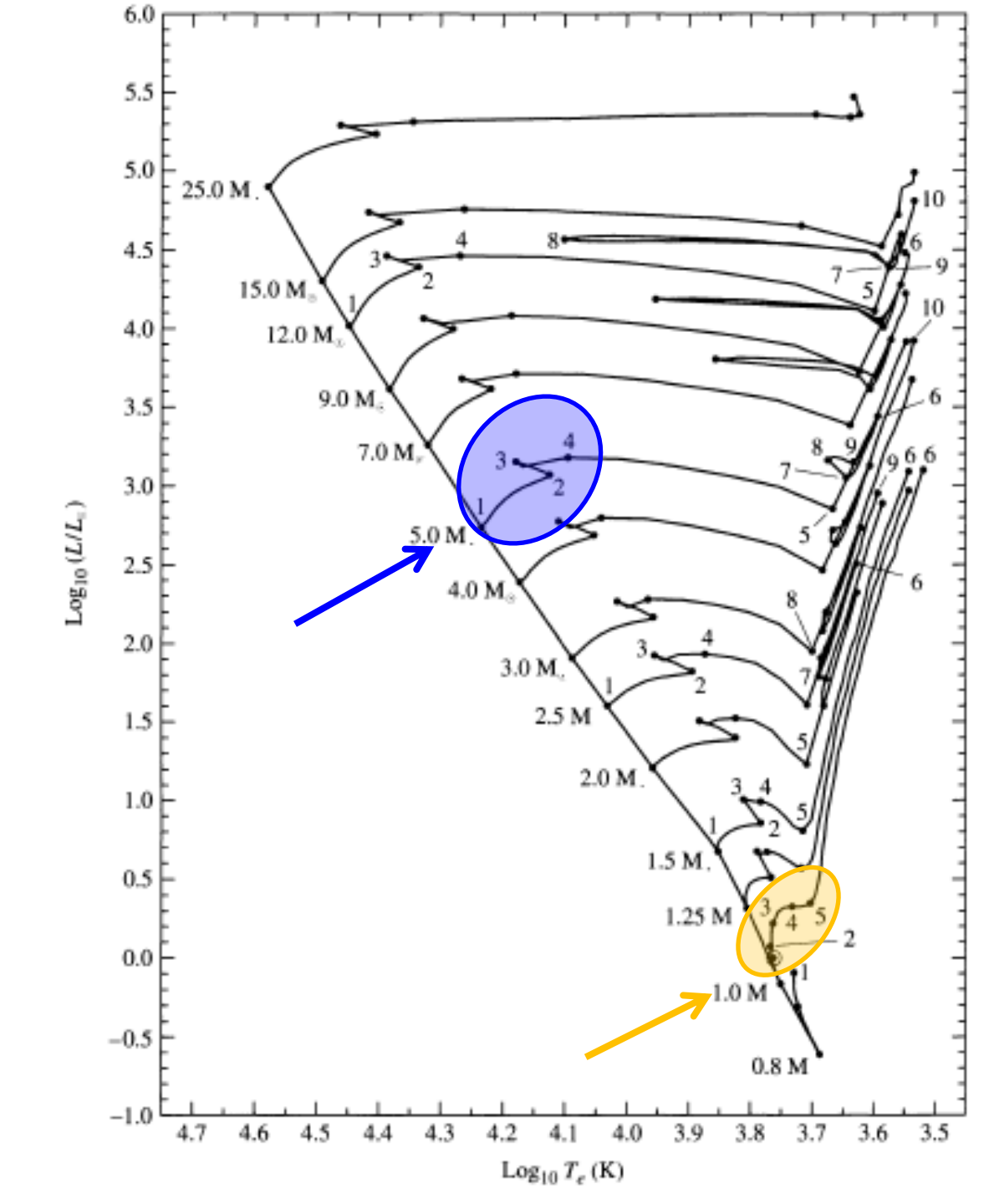
http://www.atnf.csiro.au

Fig. 13.1 Trilhas evolutivas após a Sequência Principal.

Estrelas com composição inicial X=0,68 Y=0,3 e Z=0,02

Cálculos incluem perda de massa e *overshooting* convectivo.

Adaptado de Schaller et al. 1992



Tab. 13.1 Tempo (Myr) decorrido depois de ter chegado na ZAMS

Initial Mass	1	2	3	4	5
(M <sub>☉</sub> )	6	7	8	9	10
25	0	6.33044	6.40774	6.41337	6.43767
	6.51783	7.04971	7.0591		
15	0	11.4099	11.5842	11.5986	11.6118
13	_			11.3700	11.0116
	11.6135	11.6991	12.7554		
12	0	15.7149	16.0176	16.0337	16.0555
	16,1150	16.4230	16.7120	17.5847	17.6749
9	0	25.9376	26.3886	26.4198	26.4580
	26.5019	27.6446	28.1330	28.9618	29.2294
_	_				
7	0	42.4607	43.1880	43.2291	43.3388
	43.4304	45.3175	46.1810	47.9727	48.3916
5	0	92.9357	94.4591	94,5735	94.9218
2	-				
	95.2108	99.3835	100.888	107.208	108.454
4	0	162.043	164.734	164.916	165.701
·	166,362	172.38	185.435	192.198	194.284
		And Administration	The second of the second	- 17 Marin Bride 507	and the second of

Adaptado de Schaller et al. 1992

Tab. 13.1 Tempo (Myr) decorrido depois de ter chegado na ZAMS

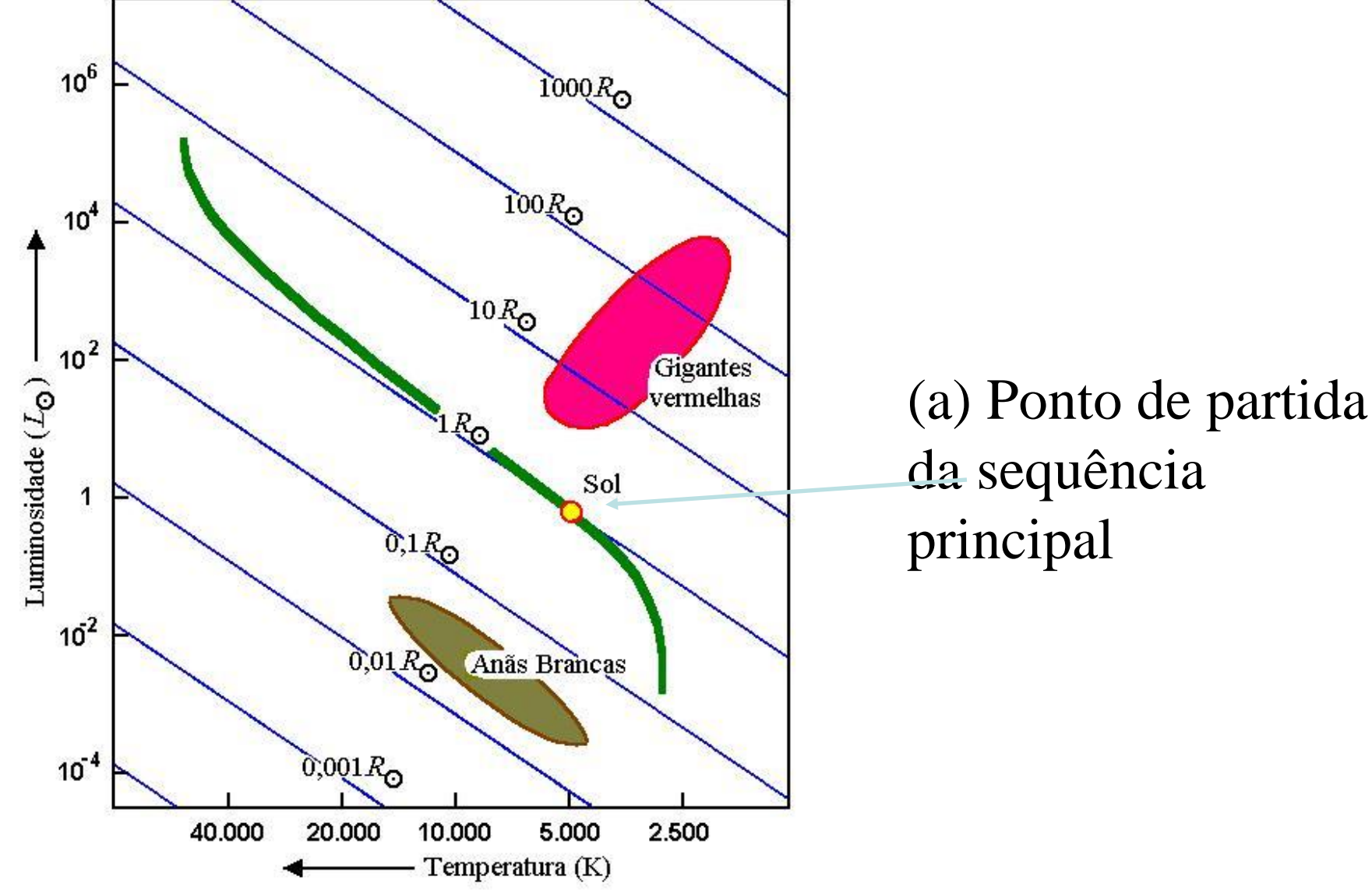
			_			
Initial Mass	1	2	3	4	5	
$({ m M}_{\odot})$	6	7	8	9	10	
4	0	162.043	164.734	164.916	165.701	
	166.362	172.38				
3	0	346 240	352 503	352.792	355.018	
3	357.310	366.880	420.502		333.016	
2.5	0	-	584.916		589.786	
	595.476	607.356	710.235	757.056		
2	0	1094.08	1115.94	1117.74	1129.12	
	1148.10	1160.96	1379.94	1411.25		
1.5	0	2632.52	2690 39	2699.52	2756.73	
1.5	2910.76	2032.32	2070.57	2077.52	2730.73	
	_		101011	400000		
1.25	0	4703.20	4910.11	4933.83	5114.83	
	5588.92					
1	0	7048.40	9844.57	11386.0	11635.8	
	12269.8					
0.8	0	18828.9	25027.9			

dicados

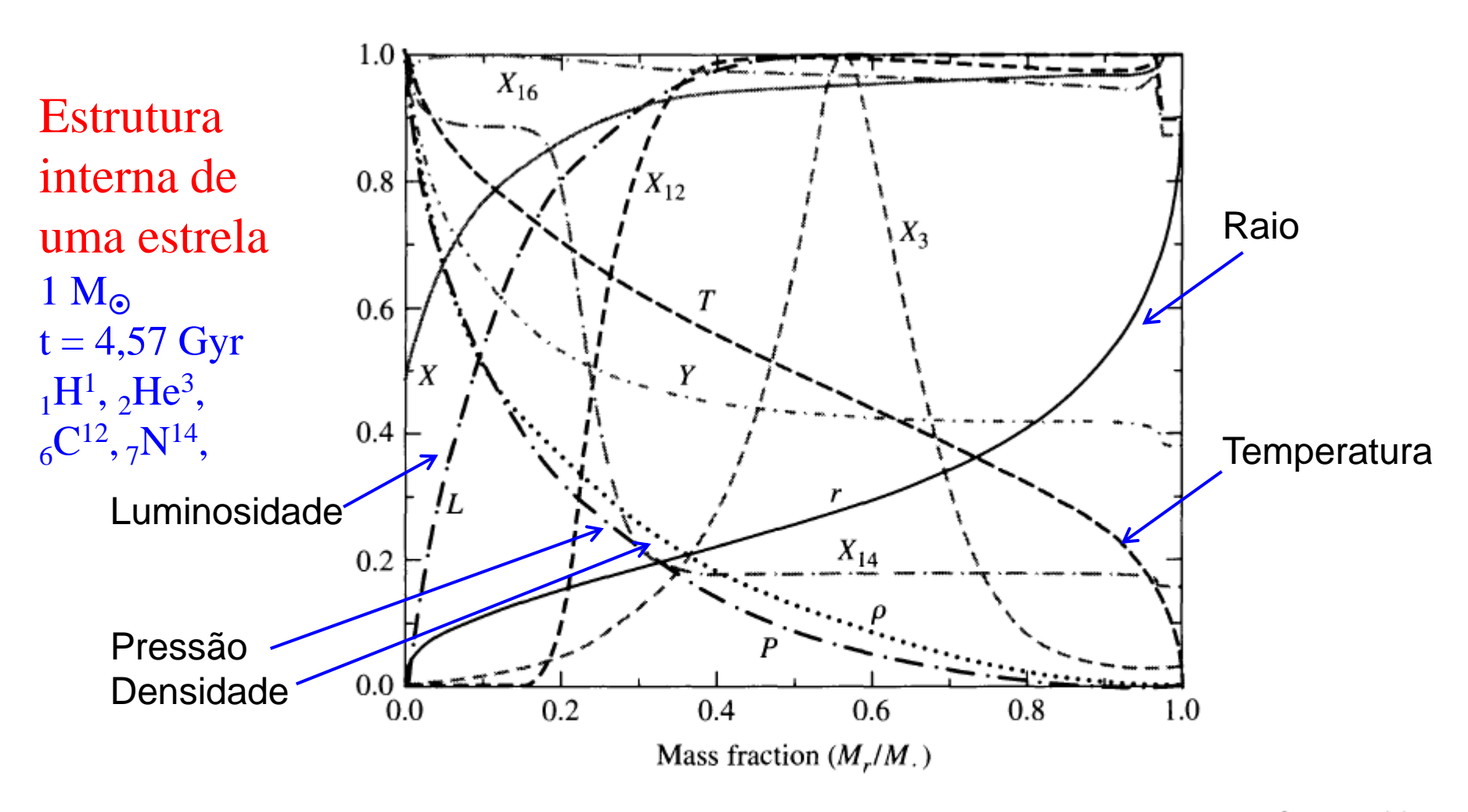
Fig. 13.1

## Estrelas de massa semelhante à do Sol

- P<sub>gás</sub> diminui ⇒ contração (~ 10 bilhões de anos após a chegada na sequência principal).
- Temperatura aumenta  $(10^6 < T < 10^7 \text{ K})$
- Queima de H é mais rápida P↑.
- Desbalanço geral:  $R_{ext} \uparrow \& T_{sup} \downarrow$
- Estrela segue um **caminho evolutivo** no diagrama H-R.



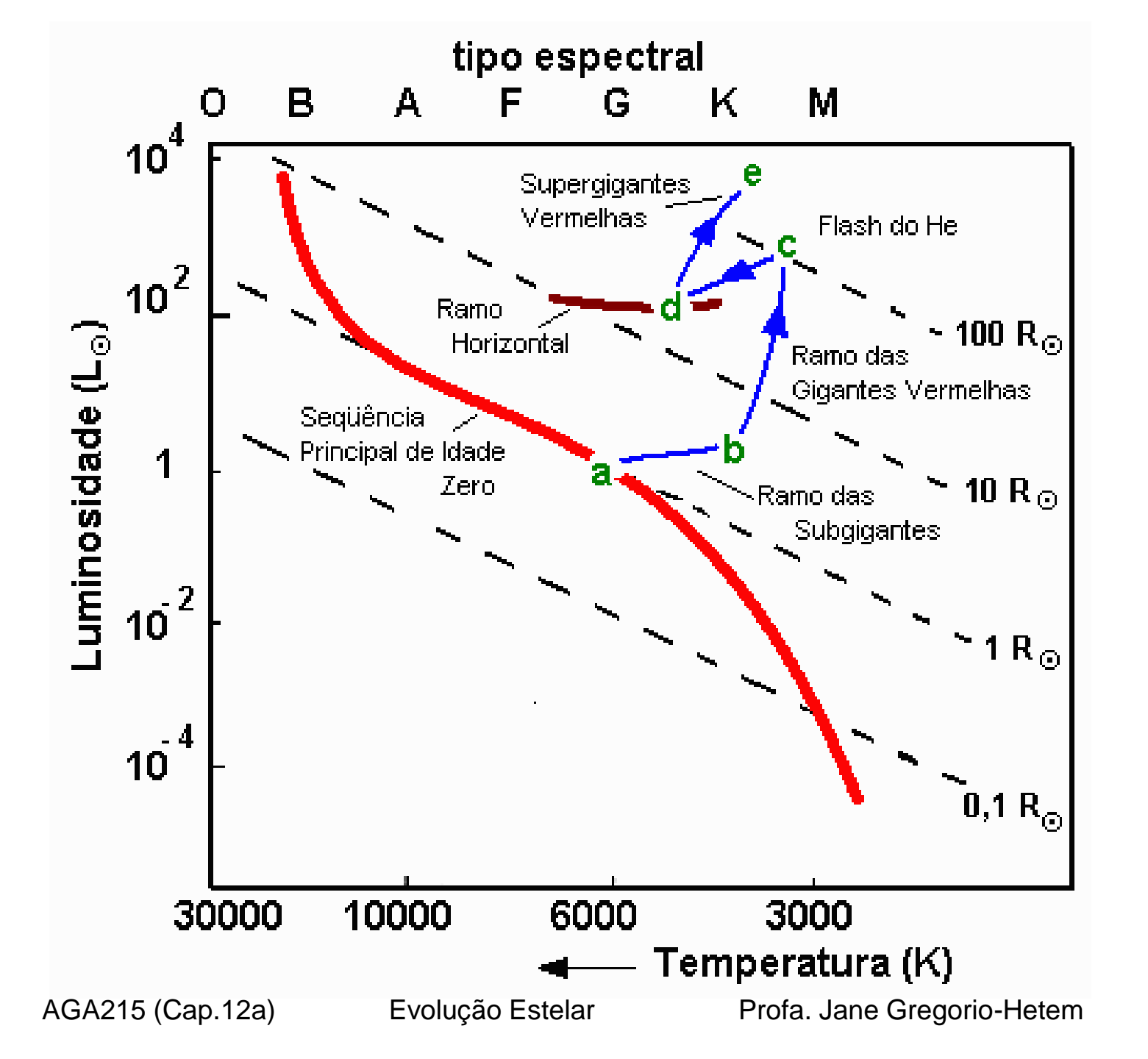
Como  $T_{sup} \downarrow$  a trajetória segue para a direita e suavemente para cima  $(R_{ext} \uparrow)$ .



**FIGURE 13.2** The interior structure of the present-day Sun (a 1 M<sub>☉</sub> star), 4.57 Gyr after reaching the ZAMS. The model is located between points 1 and 2 in Fig. 13.1. The maximum ordinate values of the parameters are  $r = 1.0 \text{ R}_{\odot}$ ,  $L = 1.0 \text{ L}_{\odot}$ ,  $T = 15.69 \times 10^6 \text{ K}$ ,  $\rho = 1.527 \times 10^5 \text{ kg m}^{-3}$ ,  $P = 2.342 \times 10^{16} \text{ N m}^{-2}$ , X = 0.73925, Y = 0.64046,  $X_3 = 3.19 \times 10^{-3}$ ,  $X_{12} = 3.21 \times 10^{-3}$ ,  $X_{14} = 5.45 \times 10^{-3}$ , and  $X_{16} = 9.08 \times 10^{-3}$ . (Data from Bahcall, Pinsonneault, and Basu, *Ap. J.*, 555, 990, 2001.)

## (b) Ramo das sub-gigantes

- Com o término do H no *core*, a camada acima não tem temperatura suficiente para continuar a fusão nuclear pela cadeia p-p → trajetória segue para o ramo das **sub-gigantes** (3R<sub>☉</sub>)
- Essa fase terá fim quando a massa do *core* for grande demais e o *core* não for capaz de suportar o material acima dele.

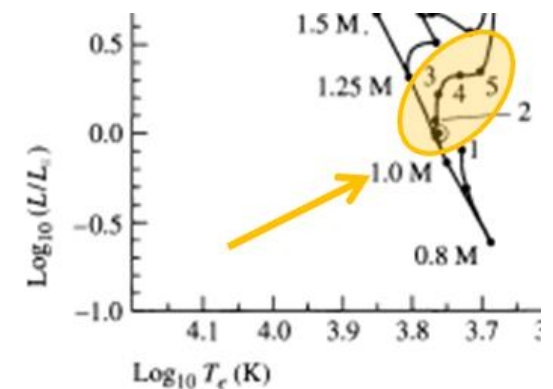


## Limite de Schönberg-Chandrasekhar

• A fração máxima da massa da estrela que pode existir no *core* isotérmico, e ainda suportar as camadas superiores, foi estimada inicialmente em 1942 por Schönberg e Chandrasekhar:

$$\left(\frac{M_{ic}}{M}\right)_{SC} \approx 0.37 \left(\frac{\mu_e}{\mu_{ic}}\right)$$

- Quando esse limite é excedido, o *core* colapsa na escala de tempo de Kelvin-Helmholtz
  - → posição 4 na Fig. 13.1
    - $\rightarrow$  final da SP para M ~ 1.2 M $_{\odot}$ .



## THE ASTROPHYSICAL JOURNAL

VOLUME 96

SEPTEMBER 1942

NUMBER 2

#### ON THE EVOLUTION OF THE MAIN-SEQUENCE STARS

#### M. Schönberg<sup>1</sup> and S. Chandrasekhar

#### ABSTRACT

The evolution of the stars on the main sequence consequent to the gradual burning of the hydrogen in the central regions is examined. It is shown that, as a result of the decrease in the hydrogen content in these regions, the convective core (normally present in a star) eventually gives place to an isothermal core. It is further shown that there is an upper limit ( $\sim$  10 per cent) to the fraction of the total mass of hydrogen which can thus be exhausted. Some further remarks on what is to be expected beyond this point are also made.

YERKES OBSERVATORY
WILLIAMS BAY, WISCONSIN
AND
UNIVERSITY OF SÃO PAULO
BRAZIL

<sup>&</sup>lt;sup>1</sup> Fellow of the J. S. Guggenheim Foundation, at the Yerkes Observatory.

**Example 13.1.1.** If a star is formed with the initial composition X = 0.68, Y = 0.30, and Z = 0.02, and if complete ionization is assumed at the core–envelope boundary, we find from Eq. (10.16) that  $\mu_{\rm env} \simeq 0.63$ . Assuming that all of the hydrogen has been converted into helium in the isothermal core,  $\mu_{ic} \simeq 1.34$ . Therefore, from Eq. (13.1), the Schönberg–Chandrasekhar limit is

$$\left(\frac{M_{ic}}{M}\right)_{SC} \approx 0.37 \left(\frac{0.63}{1.34}\right)^2 \qquad \left(\frac{M_{ic}}{M}\right)_{SC} \simeq 0.08.$$

The isothermal core will collapse if its mass exceeds 8% of the star's total mass.

$$\frac{1}{\mu_i} = 2X + \frac{3}{4}Y + \left\langle \frac{1+z}{A} \right\rangle Z$$

Revisão Cap. 10 where  $X_i$  is the mass fraction of atoms of type j. Solving for  $1/\mu_n$ , we have

$$\frac{1}{\mu_n} = \sum_j \frac{1}{A_j} X_j. \tag{10.13}$$

Thus, for a neutral gas,

$$\frac{1}{\mu_n} \simeq X + \frac{1}{4}Y + \left(\frac{1}{A}\right)_n Z. \tag{10.14}$$

 $\langle 1/A \rangle_n$  is a weighted average of all elements in the gas heavier than helium. For solar abundances,  $\langle 1/A \rangle_n \sim 1/15.5$ .

contributes two free electrons plus its nucleus. Therefore, for a completely ionized gas, Eq. (10.13) becomes

$$\frac{1}{\mu_i} = \sum_j \frac{1 + z_j}{A_j} X_j. \tag{10.15}$$

Including hydrogen and helium explicitly, we have

$$\frac{1}{\mu_i} \simeq 2X + \frac{3}{4}Y + \left\langle \frac{1+z}{A} \right\rangle_i Z. \tag{10.16}$$

For elements much heavier than helium,  $1 + z_j \simeq z_j$ , where  $z_j \gg 1$  represents the number of protons (or electrons) in an atom of type j. It also holds that  $A_j \simeq 2z_j$ , the relation being based on the facts that sufficiently massive atoms have approximately the same number of protons and neutrons in their nuclei and that protons and neutrons have very similar masses (see page 299). Thus

$$\left\langle \frac{1+z}{A} \right\rangle_i \simeq \frac{1}{2}$$

**Example 13.1.1.** If a star is formed with the initial composition X = 0.68, Y = 0.30, and Z = 0.02, and if complete ionization is assumed at the core–envelope boundary, we find from Eq. (10.16) that  $\mu_{\rm env} \simeq 0.63$ . Assuming that all of the hydrogen has been converted into helium in the isothermal core.  $\mu_{ic} \simeq 1.34$ . Therefore, from Eq. (13.1), the Schönberg–Chandrasekhar limit is

$$\left(\frac{M_{ic}}{M}\right)_{SC} \approx 0.37 \left(\frac{0.63}{1.34}\right)^2 \qquad \left(\frac{M_{ic}}{M}\right)_{SC} \simeq 0.08.$$

The isothermal core will collapse if its mass exceeds 8% of the star's total mass.

$$\frac{1}{\mu_{i}} = 2X + \frac{3}{4}Y + \left\langle \frac{1+z}{A} \right\rangle Z \qquad \left[ \begin{array}{c} \frac{1}{\mu_{env}} = 2 \times 0.68 + \frac{3}{4} \times 0.3 + \frac{1}{2} \times 0.02 = 1.595 \\ \frac{1}{1.586} = \mu_{env} = 0.627 \end{array} \right]$$

$$\frac{1}{\mu_{i}} \cong X + \frac{1}{4}Y + \left\langle \frac{1}{A} \right\rangle_{n} Z \qquad \left[ \begin{array}{c} \frac{1}{\mu_{ic}} = 1 \times 0.68 + \frac{1}{4} \times 0.3 + \frac{1}{15.5} \times 0.02 = 0.756 \\ \frac{1}{0.756} = \mu_{ic} = 1.322 \end{array} \right]$$
Gás neutro no *core*

## Gás degenerado

- A massa de um core isotérmico pode ultrapassar o limite de Schönberg-Chandrasekhar se uma fonte adicional de pressão suplementar a pressão do gás ideal.
- Isso ocorre quando os elétrons do gás tornam-se degenerados.
- Férmions obedecem o princípio de exclusão de Pauli → nas altas densidades, elétrons são forçados a ocupar os mais baixos estados de energia e posteriormente os mais altos.
- No estado de completa degenerescência, a pressão do gás é devida a movimentos não térmicos dos elétrons → independe da temperatura:

$$P_e = K \rho^{5/3}$$

(para elétrons não-relativísticos)

#### Gás degenerado (cont.)

- Na degenerescência parcial, resta alguma dependência com a temperatura;
- O core isotérmico de uma estrela com 1 M<sub>☉</sub> (entre os pontos 3 e 4 da Fig. 13.1) encontra-se parcialmente degenerado → a massa do core pode chegar a 13% da massa total da estrela antes de começar a colapsar.
- Estrelas menos massivas têm mais altos níveis de degenerescência → não excedem o limite de Schönberg-Chandrasekhar antes do início do próximo estágio de queima nuclear

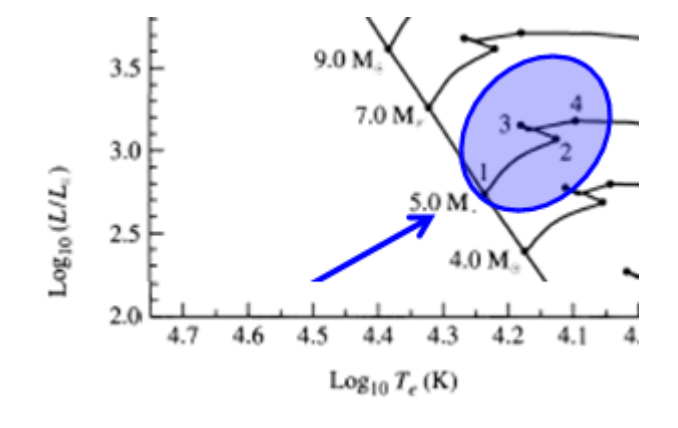
Log 10 (L/L;)

-0.5

 $Log_{10} T_e(K)$ 

0.8 M

## Estrelas de 5 M<sub>o</sub>



- Em estrelas massivas, a evolução é semelhante à do Sol, com uma principal diferença → core convectivo → efeito de misturar continuamente o material, mantendo a composição do *core* ~ homogênea.
- Quando a fração de H é X~0,05 no core de uma estrela de 5 M<sub>☉</sub> (ponto 2 na Fig. 13.1) a estrela como um todo começa a contrair;
- Com a liberação da energia gravitacional, a luminosidade aumenta levemente;
- O raio diminui → temperatura aumenta.

Fim da SP para estrelas massivas.

## Próxima aula

- 13.2 Estágios finais da evolução estelar
- 13.3 O final das estrelas massivas
- 13.4 Aglomerados estelares